

Starkniederschlagshöhen und -spenden gemäß KOSTRA-DWD-2020

Rasterfeld 132127

(Zeile 132, Spalte 127)

Regenspende und Bemessungsniederschlagswerte in Abhängigkeit von Wiederkehrzeit T und Dauerstufe D

| Dauerstufe D | | Wiederkehrzeit T | | | | | | | | | | | | | | | | | |
|--------------|-----|------------------|------------|------|------------|------|------------|------|------------|-------|------------|-------|------------|-------|------------|-------|------------|-------|------------|
| | | 1 a | | 2 a | | 3 a | | 5 a | | 10 a | | 20 a | | 30 a | | 50 a | | 100 a | |
| min | Std | mm | l / (s ha) | mm | l / (s ha) | mm | l / (s ha) | mm | l / (s ha) | mm | l / (s ha) | mm | l / (s ha) | mm | l / (s ha) | mm | l / (s ha) | mm | l / (s ha) |
| 5 | | 6,5 | 216,7 | 8,0 | 266,7 | 8,9 | 296,7 | 10,2 | 340,0 | 11,9 | 396,7 | 13,7 | 456,7 | 14,9 | 496,7 | 16,4 | 546,7 | 18,6 | 620,0 |
| 10 | | 8,6 | 143,3 | 10,6 | 176,7 | 11,8 | 196,7 | 13,4 | 223,3 | 15,7 | 261,7 | 18,1 | 301,7 | 19,7 | 328,3 | 21,7 | 361,7 | 24,6 | 410,0 |
| 15 | | 9,9 | 110,0 | 12,2 | 135,6 | 13,6 | 151,1 | 15,5 | 172,2 | 18,1 | 201,1 | 20,8 | 231,1 | 22,6 | 251,1 | 25,0 | 277,8 | 28,3 | 314,4 |
| 20 | | 10,9 | 90,8 | 13,4 | 111,7 | 14,9 | 124,2 | 16,9 | 140,8 | 19,9 | 165,8 | 22,9 | 190,8 | 24,8 | 206,7 | 27,4 | 228,3 | 31,1 | 259,2 |
| 30 | | 12,3 | 68,3 | 15,1 | 83,9 | 16,9 | 93,9 | 19,2 | 106,7 | 22,4 | 124,4 | 25,8 | 143,3 | 28,1 | 156,1 | 31,0 | 172,2 | 35,1 | 195,0 |
| 45 | | 13,8 | 51,1 | 17,0 | 63,0 | 18,9 | 70,0 | 21,5 | 79,6 | 25,2 | 93,3 | 29,0 | 107,4 | 31,5 | 116,7 | 34,8 | 128,9 | 39,5 | 146,3 |
| 60 | 1 | 15,0 | 41,7 | 18,4 | 51,1 | 20,5 | 56,9 | 23,3 | 64,7 | 27,3 | 75,8 | 31,4 | 87,2 | 34,1 | 94,7 | 37,6 | 104,4 | 42,7 | 118,6 |
| 90 | 1,5 | 16,7 | 30,9 | 20,5 | 38,0 | 22,9 | 42,4 | 26,0 | 48,1 | 30,4 | 56,3 | 35,0 | 64,8 | 38,0 | 70,4 | 42,0 | 77,8 | 47,6 | 88,1 |
| 120 | 2 | 18,0 | 25,0 | 22,1 | 30,7 | 24,7 | 34,3 | 28,0 | 38,9 | 32,8 | 45,6 | 37,8 | 52,5 | 41,0 | 56,9 | 45,3 | 62,9 | 51,4 | 71,4 |
| 180 | 3 | 20,0 | 18,5 | 24,6 | 22,8 | 27,4 | 25,4 | 31,1 | 28,8 | 36,5 | 33,8 | 42,0 | 38,9 | 45,6 | 42,2 | 50,3 | 46,6 | 57,1 | 52,9 |
| 240 | 4 | 21,6 | 15,0 | 26,5 | 18,4 | 29,5 | 20,5 | 33,5 | 23,3 | 39,3 | 27,3 | 45,2 | 31,4 | 49,1 | 34,1 | 54,2 | 37,6 | 61,5 | 42,7 |
| 360 | 6 | 23,9 | 11,1 | 29,4 | 13,6 | 32,7 | 15,1 | 37,2 | 17,2 | 43,5 | 20,1 | 50,1 | 23,2 | 54,4 | 25,2 | 60,1 | 27,8 | 68,2 | 31,6 |
| 540 | 9 | 26,5 | 8,2 | 32,5 | 10,0 | 36,3 | 11,2 | 41,2 | 12,7 | 48,3 | 14,9 | 55,6 | 17,2 | 60,3 | 18,6 | 66,6 | 20,6 | 75,6 | 23,3 |
| 720 | 12 | 28,5 | 6,6 | 35,0 | 8,1 | 39,0 | 9,0 | 44,3 | 10,3 | 51,9 | 12,0 | 59,8 | 13,8 | 64,9 | 15,0 | 71,6 | 16,6 | 81,3 | 18,8 |
| 1080 | 18 | 31,6 | 4,9 | 38,8 | 6,0 | 43,2 | 6,7 | 49,1 | 7,6 | 57,5 | 8,9 | 66,2 | 10,2 | 71,9 | 11,1 | 79,3 | 12,2 | 90,0 | 13,9 |
| 1440 | 24 | 34,0 | 3,9 | 41,7 | 4,8 | 46,5 | 5,4 | 52,8 | 6,1 | 61,8 | 7,2 | 71,2 | 8,2 | 77,3 | 8,9 | 85,3 | 9,9 | 96,8 | 11,2 |
| 2880 | 48 | 40,4 | 2,3 | 49,6 | 2,9 | 55,3 | 3,2 | 62,8 | 3,6 | 73,6 | 4,3 | 84,7 | 4,9 | 92,0 | 5,3 | 101,5 | 5,9 | 115,2 | 6,7 |
| 4320 | 72 | 44,8 | 1,7 | 54,9 | 2,1 | 61,2 | 2,4 | 69,5 | 2,7 | 81,5 | 3,1 | 93,8 | 3,6 | 101,8 | 3,9 | 112,4 | 4,3 | 127,5 | 4,9 |
| 5760 | 96 | 48,1 | 1,4 | 59,1 | 1,7 | 65,8 | 1,9 | 74,7 | 2,2 | 87,6 | 2,5 | 100,8 | 2,9 | 109,5 | 3,2 | 120,8 | 3,5 | 137,1 | 4,0 |
| 7200 | 120 | 50,9 | 1,2 | 62,5 | 1,4 | 69,6 | 1,6 | 79,0 | 1,8 | 92,6 | 2,1 | 106,6 | 2,5 | 115,8 | 2,7 | 127,8 | 3,0 | 145,0 | 3,4 |
| 8640 | 144 | 53,3 | 1,0 | 65,4 | 1,3 | 72,9 | 1,4 | 82,7 | 1,6 | 97,0 | 1,9 | 111,6 | 2,2 | 121,2 | 2,3 | 133,8 | 2,6 | 151,8 | 2,9 |
| 10080 | 168 | 55,4 | 0,9 | 68,0 | 1,1 | 75,8 | 1,3 | 86,0 | 1,4 | 100,8 | 1,7 | 116,0 | 1,9 | 126,0 | 2,1 | 139,0 | 2,3 | 157,8 | 2,6 |

Starkniederschlagshöhen und -spenden gemäß KOSTRA-DWD-2020

Rasterfeld 132127

(Zeile 132, Spalte 127)

Örtliche Unsicherheiten in Abhängigkeit von Wiederkehrzeit T und Dauerstufe D

| Dauerstufe D | | Wiederkehrzeit T | | | | | | | | |
|--------------|-----|------------------|-----|-----|-----|------|------|------|------|-------|
| | | 1 a | 2 a | 3 a | 5 a | 10 a | 20 a | 30 a | 50 a | 100 a |
| min | Std | ± % | ± % | ± % | ± % | ± % | ± % | ± % | ± % | ± % |
| 5 | | 11 | 12 | 12 | 13 | 13 | 14 | 14 | 15 | 15 |
| 10 | | 13 | 15 | 16 | 17 | 18 | 19 | 19 | 19 | 20 |
| 15 | | 15 | 17 | 18 | 19 | 20 | 21 | 21 | 21 | 22 |
| 20 | | 16 | 18 | 19 | 20 | 21 | 22 | 22 | 23 | 23 |
| 30 | | 17 | 19 | 20 | 21 | 22 | 22 | 23 | 23 | 24 |
| 45 | | 17 | 19 | 20 | 21 | 22 | 23 | 23 | 24 | 24 |
| 60 | 1 | 17 | 19 | 20 | 21 | 22 | 23 | 23 | 24 | 24 |
| 90 | 1,5 | 16 | 18 | 19 | 20 | 21 | 22 | 22 | 23 | 24 |
| 120 | 2 | 15 | 17 | 18 | 19 | 20 | 21 | 22 | 22 | 23 |
| 180 | 3 | 14 | 16 | 17 | 18 | 19 | 20 | 21 | 21 | 22 |
| 240 | 4 | 13 | 15 | 16 | 17 | 19 | 19 | 20 | 20 | 21 |
| 360 | 6 | 12 | 14 | 15 | 16 | 17 | 18 | 19 | 19 | 20 |
| 540 | 9 | 11 | 13 | 14 | 15 | 16 | 17 | 18 | 18 | 19 |
| 720 | 12 | 11 | 12 | 13 | 14 | 15 | 16 | 17 | 17 | 18 |
| 1080 | 18 | 10 | 11 | 12 | 13 | 14 | 15 | 15 | 16 | 17 |
| 1440 | 24 | 9 | 11 | 12 | 12 | 13 | 14 | 15 | 15 | 16 |
| 2880 | 48 | 9 | 10 | 10 | 11 | 12 | 13 | 13 | 14 | 14 |
| 4320 | 72 | 9 | 10 | 10 | 11 | 12 | 12 | 13 | 13 | 13 |
| 5760 | 96 | 10 | 10 | 10 | 11 | 11 | 12 | 12 | 13 | 13 |
| 7200 | 120 | 10 | 10 | 10 | 11 | 11 | 12 | 12 | 12 | 13 |
| 8640 | 144 | 11 | 11 | 11 | 11 | 11 | 12 | 12 | 12 | 13 |
| 10080 | 168 | 11 | 11 | 11 | 11 | 11 | 12 | 12 | 12 | 13 |

Parameter für abweichende T und D

Lokationsparameter ξ (Xi)

15,32981288

Skalenparameter α (Alpha)

4,85037399

Formparameter κ (Kappa)

-0,1

1. Koutsoyiannis-Parameter θ (Theta)

0,02980349

2. Koutsoyiannis-Parameter η (Eta)

0,74926613

Parameter für dauerstufenübergreifende Extremwertschätzung nach KOUTSOYIANNIS et al. 1998.

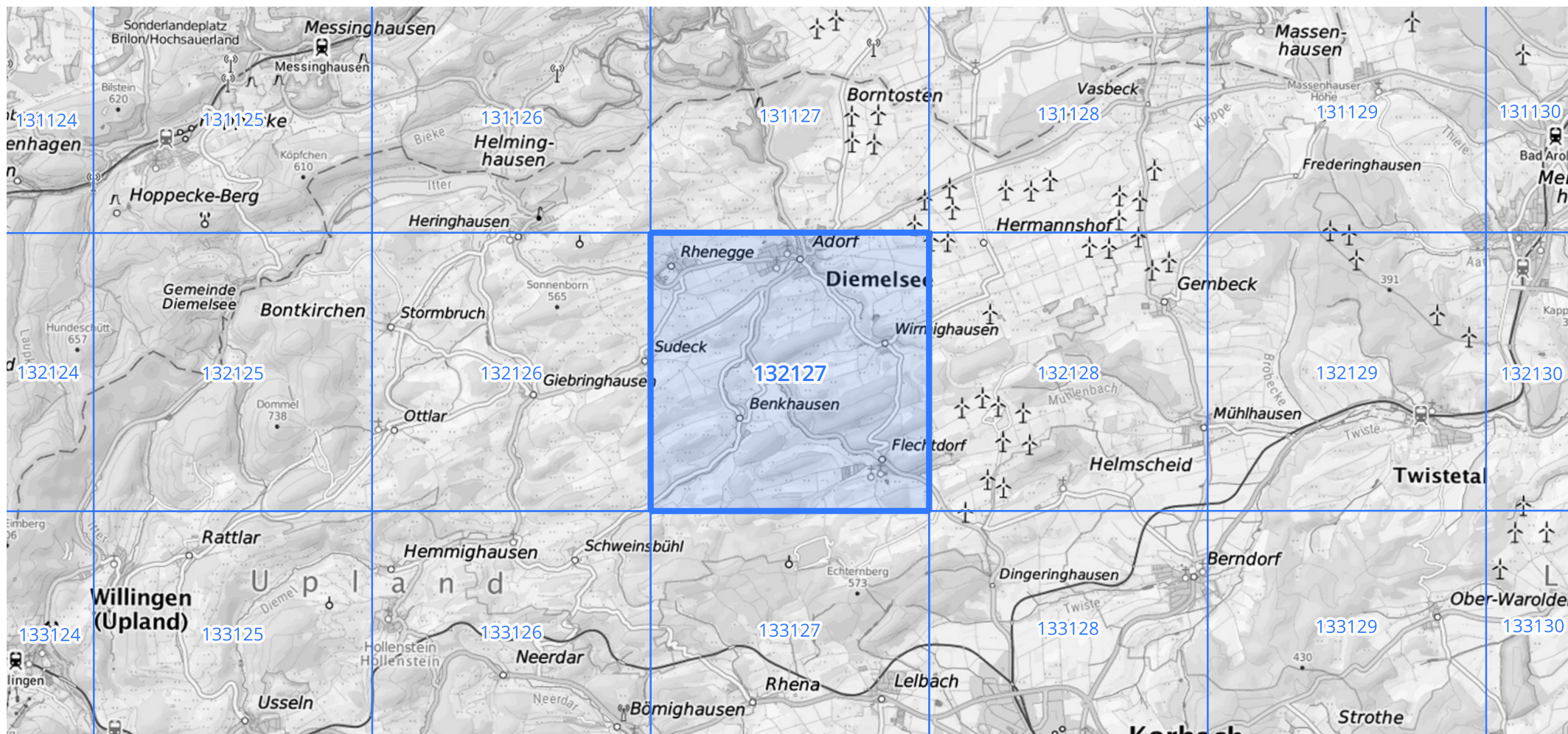
Siehe auch Anwendungshilfe zu KOSTRA-DWD-2020 des Deutschen Wetterdienstes.

Starkniederschlagshöhen und -spenden gemäß KOSTRA-DWD-2020

Rasterfeld 132127

(Zeile 132, Spalte 127)

Übersichtskarte des Rasterfeldes 132127, M 1 : 100 000



Quelle Rasterdaten: KOSTRA-DWD-2020 des Deutschen Wetterdienstes, Stand 12/2022.

Seite 3 von 3

Kartendarstellung: © Bundesamt für Kartographie und Geodäsie (2023), Datenquellen: https://sgx.geodatenzentrum.de/web_public/gdz/datenquellen/Datenquellen_TopPlusOpen.html

Für die Richtigkeit und Aktualität der Angaben wird keine Gewähr übernommen. Erstellt 01/2023.